

Research Paper

Modified Clutton-Brock Basis Potential Functions in MOND Formulation

Narges Fathalian¹

Received: 2019.01.01

Accepted: 2020.01.25

Abstract

In this paper a set of basis potential functions is introduced which could be used in expanding the MONDian potentials of razor-thin galactic disks. We modify Clutton-Brock basis potential functions in Milgrom's formulation of Modified Newtonian Dynamics (MOND), for razor-thin galactic disks. Then, we use these new modified basis functions to expand modified potential functions of Kuzmin and exponential disks. We calculate expansion coefficients and Kouchi convergence to show that the MONDian potential functions expansions of these two sample disks, versus modified Clutton-Brock basis potential functions, with limited increase of expansion's terms (up to 30 terms), converge to the exact values of their potentials. Therefore, Modified Clutton-Brock basis potential functions could be used as a set of basis functions for expansion of other MONDian potential functions of razor-thin galactic disks. These basis functions could also be applicable in simulations and codes which are used to study the dynamics of disk galaxies, especially in the methods like N-body simulations and particle mesh.

Keywords: *Clutton-Brock Basis Potential Functions, MOND, Rotation Curve of Spiral Galaxies*

¹ Physics Department, Basic Sciences, Payam-e Nour University, Tehran, Iran.
(Corresponding Author). narges.fathalian@gmail.com

فصلنامه علمی فیزیک کاربردی ایران، دانشگاه الزهرا
سال نهم، پیاپی ۱۷، تابستان ۱۳۹۸

مقاله پژوهشی

توابع تعییم‌یافته پتانسیل پایه کلاتون-براک در فرمول بندی^۱ MOND

نوگس فتحعلیان^۲

تاریخ دریافت: ۱۳۹۷/۱۰/۱۱

تاریخ پذیرش: ۱۳۹۸/۱۱/۰۵

چکیده

در این مقاله مجموعه‌ای از توابع پتانسیل پایه معرفی می‌شود که در بسط پتانسیل تعییم‌یافته نیوتونی دیسک‌های نازک کهکشانی به کار می‌رود. در اینجا توابع پتانسیل پایه کلاتون-براک را در دینامیک تصحیح شده نیوتونی، برای دیسک‌های نازک کهکشانی بازسازیمی‌کنیم. سپس با استفاده از این توابع پایه اصلاح شده جدید توابع پتانسیل تعییم‌یافته دیسک‌های کوزمیک و نمایی را بسط می‌دهیم و با محاسبه ضرایب بسط و همگرایی کوشی نشان می‌دهیم که بسط توابع پتانسیل MOND برای این دو دیسک نمونه، بر حسب توابع تعییم‌یافته پتانسیل پایه کلاتون-براک با شمار محدودی از جملات بسط (تا ۳۰ جمله) به مقدار دقیق پتانسیل آن‌ها همگرا می‌شود. بنابراین می‌توان توابع تعییم‌یافته پتانسیل پایه کلاتون-براک را به عنوان مجموعه توابع پایه برای بسط دیگر توابع پتانسیل MOND برای دیسک‌های نازک کهکشانی به کار برد. این توابع پایه همچنین در شبیه‌سازی‌ها و کدهایی که برای مطالعه دینامیک دیسک‌های کهکشانی به

¹ DOI: 10.22051/jap.2020.23847.1112

² استادیار فیزیک، دانشگاه پیام نور، دانشکده فیزیک، صندوق پستی ۱۹۳۹۵-۳۶۹۷، تهران، ایران.

narges.fathalian@gmail.com

کار می‌روند به ویژه در روش‌هایی چون شبیه‌سازی N-body و particle mesh کاربرد دارند.

واژگان کلیدی: توابع پایه پتانسیل‌کلاتون-برآک، MOND، منحنی چرخش کهکشان‌های مارپیچی.

مقدمه

مسئله منحنی چرخش کهکشان‌های مارپیچی نخستین بار در سال ۱۹۷۰ مطرح شد. پس از آن طی سال‌های ۱۹۷۹ تا ۱۹۸۵ بیش از ۷۰ منحنی چرخش معتبر از کهکشان‌های مارپیچی تا شاعع‌های زیاد منتشر شد و تقریباً در تمامی آن‌ها، برخلاف انتظار حاصل از دینامیک نیوتونی، منحنی چرخش تا آخرین نقطه اندازه گیری شده مسطح است یا به کندی تغییر می‌کند. اغلب نوری که مازیک کهکشان مارپیچی دریافت می‌کنیم از دیسک نازک آن می‌آید که به نظر می‌رسد به معنای آن باشد که تحلیل دینامیک دیسک می‌تواند قسمت عمده تحلیل کهکشان باشد. از این رو داشتن جواب‌های تحلیلی دقیق یا حتی تقریبی برای پتانسیل دیسک‌های کهکشانی بسیار مفید خواهد بود و با استفاده از آن ایده‌های گوناگون، آزمایش‌پذیرن. مهم‌ترین مسئله قابل بررسی با این جواب‌ها محاسبه منحنی چرخش تعیین‌یافته دیسک‌های کهکشانی است. با توجه به بزرگ بودن شاعع دیسک در مقابل ضخامت آن، می‌توانیم از ضخامت‌صرف‌نظر کنیم. پس ما مدل دیسک نازک (بدون برآمدگی) را در نظر می‌گیریم. همچنین ما بررسی خود را به دیسک‌های دارای تقارن محوری محدود می‌کنیم.

در بررسی مسئله منحنی چرخش کهکشانی، هم‌مان با طرح کاندیداهای ماده تاریک، رویکردهایی مبنی بر تصحیح قانون نیوتون نیز صورت گرفت. یکی از این رویکردها از آن میلگرام در سال ۱۹۸۳ بود که به تشوریتعیین دینامیک نیوتونی (MOND)^۱ معروف است (میلگرام a و b^۲). معادله پواسون تعیین‌یافته میلگرام که تعیین معادله پواسون نیوتونی است معادله‌ای غیر خطی است و حل تحلیلی آن - جز برای حالت‌های ساده و خاص بسیار دشوار است. ما در این مقاله در بخش اولابتدا نظریة MOND را که توسط میلگرام پیشنهاد شده است معرفی می‌کنیم و شیوه برآدا و میلگرام (برآدا و میلگرام، ۱۹۹۵) را که شکل MOND می‌پتانسیل‌های دیسک‌های کوزمین و نمایی را به دست آوردند، به طور مختصر توضیح می‌دهیم. سپس در بخش دوم، توابع پتانسیل پایه کلاتون-برآک (CB) را - که از حل معادله لابلاس در مختصات دوکره‌ای^۳ به دست می‌آیند - معرفی کرده و بر اساس فرمول‌بندی MOND بازسازی می‌کنیم. در این روش با محاسبات

¹ Modified Newtonian Dynamics

² Bispherical

عددی پایه‌های جدید پتانسیل کلاتون‌براکر در فرمول‌بندی MOND به دست می‌آوریم. در بخش سوم، از توابع تعیین‌یافته حاصل، برای بسط توابع پتانسیل MOND می‌دیسک کوزمین و نمایی استفاده می‌کنیم. با محاسبه ضرایب بسط و همگرایی کوشی نشان می‌دهیم که این بسط‌ها همگرا هستند. بدین معنا که بسط توابع پتانسیل تعیین‌یافته دیسک‌های کوزمین و نمایی، بر اساس توابع تعیین‌یافته پتانسیل پایه CB، با افزایش محدود جملات بسط (تا ۳۰ جمله) به مقدار دقیق پتانسیل مزبور همگرا می‌شود. از این رو، توابع تعیین‌یافته پتانسیل پایه کلاتون‌براک، توابع پایه مناسی برای بسط پتانسیل‌های MOND برای دیسک‌های نازک و بدون برآمدگی با تقارن محوری، به نظر می‌رسند.

۱. نظریه تعیین دینامیک نیوتنی

برای حل مسئله منحنی چرخش کهکشانی، همزمان با طرح کاندیداهای ماده تاریک، نظریه‌هایی مبنی بر تصحیح قانون نیوتن نیز پیشنهاد شدند. اصول این نظریه‌ها بر این است که ماده تاریکی وجود ندارد یا ماده تاریک نامزد اصلی جرم دینامیکی نیست بلکه قانونی که ما به وسیله آن جرم را محاسبه می‌کنیم درست نیست. در این راستا میلگرام در سال ۱۹۸۳ تئوری تعیین دینامیک نیوتنی (MOND) را مطرح کرد (میلگرام ۱۹۸۳a, b). بر اساس این نظریه، انحراف از قانون نیوتن در شتاب‌های پایین صورت می‌گیرد^۱. او پیشنهاد کرد که مقیاس شتابیاز مرتبه 10^{-8} cm/s^2 وجود دارد که ثابتی جهانی است و آنرا از رابطه تالی-فیشر (Tully-Fisher) بهدست آورد. طبق این نظریه شتاب ذره‌ای به جرم m که تحت نیروی F باشد، از این رابطه بهدست می‌آید (سندرز و مک‌گاگ، ۲۰۰۲):

$$Mg_n = F \quad (1)$$

که در آن

$$\mu(x) = 1 \quad \vec{g}_N = \vec{g}\mu(|g|/a_0) \quad (2)$$

و g شتاب نیوتنی است و $x = \mu(x)$ برای $1 \ll x \gg 1$ و $a_0 \simeq 10^{-8} \text{ cm/s}^2$ در حد شتاب‌های پایین خواهیم داشت

$$g_N = g\mu(|g|/a_0) \xrightarrow{a \ll a_0} g = \sqrt{g_N a_0} = \frac{v^2}{r} \rightarrow v^4 = Gma_0 \quad (3)$$

^۱ این نظریه و واقعیت‌های آن حتی برخی افراد را به این سمت سوق داد که هاله‌ی کهکشانی (در مدل ماده تاریک) را با مقیاس شتاب بازنولید کنند. برای مثال نگاه کنید به ون دن بوش و دالاکاتون، ۲۰۰۰.

که رابطهٔ تالی‌فیشر را به دست می‌دهد ($GMA_0 = \frac{1}{4}(\frac{MG}{h^2 a_0})$). پارامتر $\equiv \frac{MG}{h^2 a_0}$ معیاری از این است که در چه عمقی از ناحیه MOND هستیم. به ازای یک‌های بسیار بزرگ در ناحیه نیوتونی هستیم و لذا منحنی چرخش تعیین‌یافته نسبت به منحنی چرخش نیوتونی اختلاف چندانی نشان نمی‌دهد. به ازای یک‌های بسیار کوچک در ناحیه MOND هستیم و منحنی چرخش تعیین‌یافته نسبت به منحنی چرخش نیوتونی اختلاف چشم‌گیری را نشان می‌دهد. (برای مشاهدهٔ منحنی چرخش‌های تعیین‌یافته دیسک نمایی به ازای مقادیر مختلف یک‌نگاه کنید به میلگرام، ۱۹۸۳).

در نظریه MOND، معادلهٔ پواسون بدین شکل تصحیح می‌شود (میلگرام، ۲۰۱۵):

$$\nabla \cdot [\mu^{|\nabla \psi|_{a_0}} \nabla \psi] = 4\pi G\rho \quad (3)$$

حل تحلیلی این معادلهٔ غیر خطی در حالت کلیسیار دشوار است. اما داشتن جواب‌های تقریبی یا دقیق برای میدان گرانشی مدل‌های دیسک کهکشانی در محاسبهٔ منحنی چرخش MOND یا دیسک‌های کهکشانی بسیار مفید خواهد بود. برادا و میلگرام در ۱۹۹۵ جواب‌های معادلهٔ فوق را به طور دقیق برای دیسک کوزمیک و با تقریب بسیار خوب برای دیسک نمایی به دست آوردند که منحنی‌های حاصل به‌طور جانبی مسطح هستند (برادا و میلگرام، ۱۹۹۵).

پیروی رو شبرادا و میلگرام، ۱۹۹۵، شتاب گرانشی تعیین‌یافته، g ، با شتاب نیوتونی g_N ، طبق رابطهٔ ۲ مرتبط است که در آن $g_N = -\nabla \varphi_N$ ، (φ_N پتانسیل نیوتونی است) و $g = -\nabla \psi$ (پتانسیل تعیین‌یافته) است ولذا

$$\nabla \varphi_N = \mu^{|\nabla \psi|_{a_0}} \nabla \psi \quad (4)$$

این معادلهٔ روش خوبی را برای حل معادلهٔ (۳) پیشنهاد می‌کند. از آنجا که تابع μ که در MOND ظاهر می‌شود به شکلی است که $\mu(x) = x\mu(x)$ ، تابعی یک‌به‌یک است و همراه تغییر X بین صفر تا بی‌نهایت تغییر می‌کند، لذا تابع $(x)/I$ بر محور مثبت X ها معکوس‌پذیر است. پس ابتدا معادلهٔ پواسون را برای φ_N حل می‌کنیم و سپس با معکوس کردن رابطهٔ ۴ به میدان MOND می‌رسیم: $\nabla \varphi_N = v(|\frac{\nabla \varphi_N}{a_0}|) \nabla \psi = v(y) \nabla \psi$ ، که در آن $y/I = I^{-1}(y)$. پس با داشتن تابع پتانسیل نیوتونی φ_N ، شتاب نیوتونی g_N به دست آمده و با داشتن آنشتاب MOND را محاسبه می‌کیم (برای جزئیات بیشتر در اینباره ر.ک. برادا و میلگرام، ۱۹۹۵). فرمول زیر رابطهٔ شتاب MOND را نشان می‌دهد:

$$\bar{g} = -\nabla \psi = a_0 I^{-1}(\frac{g_N}{a_0}) \frac{\bar{g}_n}{g_n} \quad (5)$$

تابع میانیابی (x) را تابعی در نظر می‌گیریم که میلگرام در ۱۹۸۳ پیشنهاد کرده است (میلگرام، ۱۹۸۳)،

$$\mu(x) = \frac{x}{\sqrt{1+x^2}} \quad (6)$$

و در نهایت سرعت تعیین یافته از رابطه $r g = r v^2$ محاسبه می شود.

برادا و میلگرام ۱۹۹۵، به کمک این روش، پتانسیل های تعیین یافته دیسک های کوزمین و نمایی را به دست آورند. ما در قسمت بعد روش مذکور را برای بازسازی شکل نیوتونی توابع پتانسیل پایه کلاتون-براک به کار برد و شکل MOND این توابع را به طور عددی به دست می آوریم. پس نشان می دهیم که می توان شکل MOND ای پتانسیل دیسک کوزمین و نمایی را با بسطی همگرا از توابع پتانسیل پایه تعیین یافته کلاتون-براک به دست آورد و از این رو توابع MOND ای پتانسیل پایه کلاتون-براک برای بسط شکل MOND هر منحنی چرخش مسطحی مفید به نظر می رسد.

۲. توابع تعیین یافته پتانسیل پایه کلاتون-براک

پتانسیل های حاصل از چشمدهای تصویری برای به دست آوردن روابط چگالی-پتانسیل به کار می روند و برای به دست آوردن پتانسیل کهکشان های مسطح کاربرد دارند. یکی از این نوع پتانسیل ها، پتانسیل های پایه کلاتون-براک هستند که از حل معادله لاپلاس در مختصات دوکره ای به دست می آیند. این توابع برای اولین بار در سال ۱۹۷۲ توسط کلاتون-براک به شکل توابع دو به دو متعامد پتانسیل چگالی برای پتانسیل گرانشی و چگالی سطحی کهکشان های مسطح با اندازه نامحدود معرفی شدند (کلاتون-براک، ۱۹۷۲). کلاتون-براک در ۱۹۷۲ برای مجموعه توابع تنها روابط بازگشتی ارائه داده بود. او این توابع را با به کار بردن روش تبدیل هنکل که توسط تومره (تومره، ۱۹۶۳) به توابع لزاندر گسترش داده شده بود، به دست آورد. کلنجز پس از مشاهده کار کلاتون-براک توانست این توابع را از فرمول بندهای مارپیچی لگاریتمیش به دست آورد (کلنجز، ۱۹۷۶). آوکی و آی در ۱۹۷۸ دریافتند که این مجموعه توابع دو به دو متعامد فرم ساده ای بر حسب توابع لزاندر دارند (آوکی و آی، ۱۹۷۸). آوکی و همکاران اش در ۱۹۷۹ این مجموعه از توابع را برای محاسبه مدهای نوسانات کهکشان های مسطح مفید یافتند (آوکی و همکاران، ۱۹۷۹). هانتر در ۱۹۸۰ شان داد، مجموعه نتایج توابع چگالی و پتانسیل مستقیماً و به سادگی با استفاده از مختصات دوکره ای به دست می آیند (هانتر، ۱۹۸۰؛ برای مطالعه مختصات دوکره ای، مورس و فشباخ ۱۹۵۳ را ببینید).

مختصات دوکره ای از مختصات دوقطبی به دست می آید. مختصات دوقطبی، مختصات مناسب دو استوانه موازی یا یک استوانه با شعاع محدود موازی یک صفحه است. این مختصات را

می‌توانیم با فرض تابع مختلطی که از آن پتانسیل دوبار خطی متضاد (در راستای محور X) در فاصله $2a$ حاصل می‌شود به دست آوریم که در آن $\omega = \ln \left[\frac{a+x}{a-x} \right] = 2 \tanh^{-1} \left(\frac{x}{a} \right)$. با قرار دادن $x + iy = a \frac{1-e^{-\omega}}{1+e^{-\omega}}$ خواهیم داشت $x = z + iy = a \tanh(\frac{\omega}{2})$ و $\omega = \mu + i\eta$ که $z = \frac{a \sinh \mu}{\cosh \mu - \cos \eta}$; $y = \frac{a \sin \eta}{\cosh \mu - \cos \eta}$; $\mu = \tanh^{-1} \left(\frac{2az}{a^2 + z^2 + y^2} \right)$; $\eta = \tan^{-1} \left(\frac{2ay}{a^2 - z^2 - y^2} \right)$ در آن $r = \sqrt{z^2 + y^2} = a \sqrt{\frac{\sinh^2 \mu + \sin^2 \eta}{(\cosh \mu - \cos \eta)^2}}$; $\theta = \tan^{-1} \left(\frac{y}{z} \right) = \tan^{-1} \left(\frac{\sin \eta}{\sinh \mu} \right)$ مختصات η بین صفر و $\pi/2$ تغییر می‌کند. مختصات μ شعاعی است و بازه $(-\infty, \infty)$ را می‌پوشاند و بین $(0, \infty)$ نیمه مثبت صفحه $-y$ -را می‌دهد. منحنی‌هایی با μ یا η ثابت دوایری در فضای $z-y$ هستند. اکنون مختصات دوکره‌ای با چرخش محورهای مختصات دوقطبی حول عمود منصف خط بین دوقطب به دست می‌آید. مختصات‌ها و معادله لابلس در این مختصات به این شکل است:

$$\begin{aligned} z &= \frac{a \sinh \mu}{\cosh \mu - \cos \eta}; x = \frac{a \sin \eta \cos \theta}{\cosh \mu - \cos \eta}; y = \frac{a \sin \eta \sin \theta}{\cosh \mu - \cos \eta}; r = \frac{a \sin \eta}{\cosh \mu - \cos \eta}; \\ h_\mu &= h_\eta = \frac{a}{\cosh \mu - \cos \eta}; h_\theta = \frac{a \sin \eta}{\cosh \mu - \cos \eta}; \\ \nabla^2 \varphi &= \frac{1}{h_\mu^3} \left(\frac{\partial}{\partial \mu} \left(h_\mu \frac{\partial \varphi}{\partial \mu} \right) + \frac{1}{\sin \eta} \frac{\partial}{\partial \eta} \left(h_\mu \sin \eta \frac{\partial \varphi}{\partial \eta} \right) + \frac{h_\theta}{\sin^2 \eta} \frac{\partial^2 \varphi}{\partial \theta^2} \right); \end{aligned} \quad (7)$$

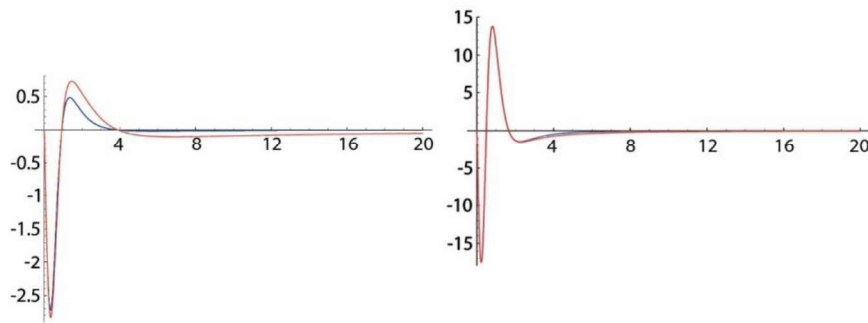
که در آن، μ بین $(-\infty, \infty)$ ، η از صفر تا π و θ از صفر تا $\pi/2$ تغییر می‌کند. مورس و فشباخ (۱۹۵۳) نشان دادند که معادله لابلسی فوق در مختصات دوکره‌ای تفکیک می‌شود (مورس و فشباخ، ۱۹۵۳). با حل این معادله لابلس در مختصات دوکره‌ای پتانسیل‌های پایه کلاتون-برآک به دست می‌آیند (برای جزئیات بیشتر هانتر، ۱۹۸۰ را بینید). فرمول‌بندی نیوتینی توابع پتانسیل پایه کلاتون-برآک چنین است (آوکی و آی، ۱۹۷۸):

$$\begin{aligned} \phi_n^m &= -\frac{GM}{R} \left(\frac{a}{a+|z|} \right)^n \sum_{j=0}^{n-m} \frac{(n+m)!}{j!(n+m-j)!} \frac{|z|}{a} P_{n-j}^m(\tilde{\xi}) \exp(im\theta) \\ R &= [r^2 + (a+|z|)^2]^{\frac{1}{2}} \\ \tilde{\xi} &= [r^2 - (a+|z|)^2]/R^2 \end{aligned} \quad (8)$$

که در آن، M جرم و G ثابت گرانش است. P_n^m ‌ها توابع وابسته لزاندر هستند که در آن m و n اعداد صحیح نامنفی‌اند به شکلی که $n \leq m$ و a پارامتر طول آزاد است. در محاسبات خود مقدار شتاب MOND را مشابه کار برادا و میلگرام (۱۹۹۵) مقدار $a_0 = 1.2 \times 10^{-8} \text{ cm/s}^2$ در نظر گرفتیم. پارامتر a را که مقیاس طول است، شعاع کهکشان دیسکی نوعی، برابر شعاع کهکشان راه شیری در نظر گرفتیم.

با استفاده از این توابع (روابط فوق) و با دنبال کردن همان مراحل قسمت قبل (مانند دیسک نیوتینی و کوزمیک)، توابع تعمیم‌یافته پتانسیل پایه کلاتون-برآک، ϕ_n^m ‌ها، را به دست می‌آوریم

$g_n^m = -\nabla \psi_n^m$). در محاسباتِ خود حالتِ بدون اختلال را در نظر گرفته و مقدار θ را برابر صفر می‌گیریم. همچنین پس از محاسبه مؤلفه‌های مربوط به گرادیان و انجام محاسبات مربوط، در مرحله آخر ضخامت دیسک را صفر در نظر می‌گیریم، $z=0$. بدین ترتیب شکل تعیین یافته توابع پایه کلاتونبراک (اعم از شتاب و پتانسیل) را به دست می‌آوریم. تمام کدهای این مقاله را در نرم‌افزار MATHEMATICA نوشتم و منحنی‌های مربوط را نیز در همان محیط رسم کردیم. در شکل ۱، برای نمونه منحنی‌های بی‌بعد شتاب‌های نیوتونی، (رنگ آبی) و MOND (رنگ قرمز)، g/a_0 و g_N/a_0 را برای دو مد متفاوت (مد $m=0, n=2$ سمت راست و مد $m=2, n=3$ سمت چپ) بر حسب فاصله از مرکز کهکشان (شعاع) رسم کرده‌ایم. مقادیر شعاع را به شعاع دیسک کهکشان نوعی بهنجار کرده‌ایم. کهکشان نوعی را کهکشان راه شیری در نظر گرفتیم. در شکل ۱، اختلاف مقادیر توابع پایه کلاتونبراک تعیین یافته نسبت به شکل نیوتونی مشاهده می‌شود. چنان‌که انتظار داریم در محدوده شتاب‌های $a > a_0$ مقدار شتاب نیوتونی و شتاب تعیین یافته مشابهند و در محدوده شتاب‌های $a < a_0$ اختلاف مشخصی بین شتاب نیوتونی و MOND مشاهده می‌شود.



شکل ۱ شتاب‌های بی‌بعد نیوتونی (رنگ آبی) و MOND (رنگ قرمز)، g/a_0 و g_N/a_0 ، برای دو مد متفاوت بر حسب فاصله از مرکز کهکشان (شعاع)، مد $m=0, n=2$ سمت راست و مد $m=2, n=3$ سمت چپ.

برای به دست آوردن توابع تعیین یافته پتانسیل پایه کلاتونبراک باید از توابع پایه شتاب MOND کلاتونبراک به طور عددی انتگرال بگیریم. یعنی برای هریک از توابع پتانسیل پایه کلاتونبراک

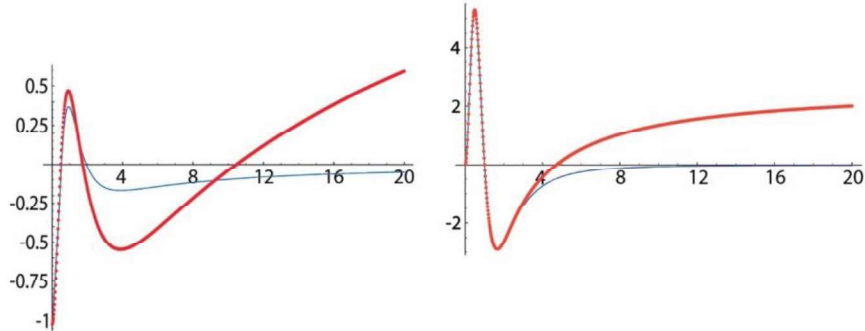
$$\psi(r) = - \int_{r_{ref}}^r g(r) dr \quad (9)$$

که در آن r_{ref} مبدأ پتانسیل است. در رابطه مشابه نیوتونی با توجه به شکل شناخته شده پتانسیل نیوتونی، مبدأ را بی‌نهایت قرار می‌دهیم که در اینجا صادق نیست. پس در اینجا برای اینکه مشکل

مبدأ پتانسیل را حل کنیم، از مقدار پتانسیل نیوتونی در مبدأ استفاده می‌کنیم. چرا که با توجه به الگوی منحنی‌های چرخش کهکشان‌های مارپیچی که از مشاهده به دست می‌آید و مقایسه آن با الگوی نیوتونی منحنی سرعت، به این نتیجه می‌رسیم که مقدار پتانسیل تعیین‌یافته در مبدأ ($r = 0$) با تقریب خوبی با مقدار نیوتونی آن برابر است (چون در مبدأ شتاب‌ها نیوتونی هستند). از این رو به جای معادله (۹) از رابطه زیر استفاده می‌کنیم:

$$\psi(r) = \varphi(0) - \int_0^r g(r) dr \quad (10)$$

و به این ترتیب توابع پتانسیل پایه کلاتون-براک با انتگرال‌گیری عددی فوق محاسبه می‌شوند ($\varphi(0)$ مقدار پتانسیل نیوتونی در مبدأ است که برای هریک از m ‌ها متفاوت است).



شکل ۲ پتانسیل‌های بی‌بعد نیوتونی (به رنگ آبی) و MOND (رنگ قرمز) برای دو مدل متفاوت بر حسب فاصله از مرکز کهکشان. سمت چپ: مدل $m=0$ و $n=2$. سمت راست: مدل $m=2$ و $n=3$.

در شکل ۲، برای نمونه، منحنی‌های بی‌بعد توابع پتانسیل پایه کلاتون-براک (رنگ آبی) و توابع تعیین‌یافته پتانسیل پایه کلاتون-براک (رنگ قرمز) برای دو مدل متفاوت بر حسب فاصله از مرکز کهکشان رسم شده‌اند. مقادیر پتانسیل را به مقدار $\frac{v}{c}$ و مقادیر شاعع را مانند شکل ۱ بهنجار کرده‌ایم. در این شکل هم اختلاف مقادیر توابع پتانسیل پایه کلاتون-براک تعیین‌یافته نسبت به شکل نیوتونی مشاهده می‌شود. چنان‌که انتظار داریم در محدوده شتاب‌های $a > a_0$ مقدار پتانسیل نیوتونی و شتاب تعیین‌یافته مشابهند و در محدوده شتاب‌های $a < a_0$ اختلاف مشخصی بین پتانسیل نیوتونی و MOND مشاهده می‌شود. بدین شکل، نتایج عددی حاصل انتظارات نظری مربوط به پتانسیل و شتاب MOND را برای توابع پایه مدل نظر برآورده می‌سازند. همان‌طور که در شکل می‌بینیم مقایسه پایه‌های نیوتونی (آبی رنگ) با پایه‌های MOND (رنگ قرمز) نشان می‌دهد که اگرچه توابع پایه

نیوتونی کلاتون-براک در فواصل دور به سمت صفر افت می‌کردند اما توابع پایه کلاتون-براک MOND در فواصل دور به صفر میل نمی‌کنند بلکه تفاوت مشخصی با توابع نیوتونی دارند که این تفاوت به این توابع پایه‌ای که تعیین داده‌ایم این امکان را می‌دهد که برای بسط توابع دلخواه پتانسیل MOND ای به کار روند در حالی که نسخه نیوتونی آنها قادر به این کار نبود چرا که در فواصل دور به صفر افت می‌کرد.

۳. همگرایی بسط پتانسیل‌های دیسک کوزمین و نمایی بر حسب توابع پتانسیل پایه تعیین‌یافته کلاتون-براک

در این قسمت توابع تعیین‌یافته پتانسیل پایه کلاتون-براک را به طور نمونه در بسط پتانسیل‌های تعیین‌یافته دیسک کوزمین و نمایی به کار می‌بریم و نشان می‌دهیم که بسط‌های مذکور همگرا است. ابتدا دیسک کوزمین را در نظر می‌گیریم. پتانسیل دیسک کوزمین به این شکل است

$$\varphi_k(R, z) = -\frac{GM}{\sqrt{R^2 + (h+|z|)^2}} \quad (11)$$

که در آن R فاصله از مرکز دیسک (در صفحه دیسک) در مختصات استوانه‌ای و Z فاصله عمودی از مرکز دیسک در آن مختصات است. به طوری که در نقاط $z < 0$, φ_k برابر است با پتانسیل جرم نقطه‌ای M که در نقطه $(R, z) = (0, h)$ قرار گرفته باشد و در نقاط $z > 0$, φ_k برابر است با پتانسیل جرم نقطه‌ای M که در نقطه $(R, z) = (0, -h)$ قرار گرفته باشد. چگالی سطحی معادل پتانسیل کوزمین برابر است با $\sigma_k(R) = \frac{Mh}{2\pi(R^2 + h^2)^{\frac{3}{2}}}$. این جفت چگالی‌پتانسیل به عنوان دیسک تومره مدل ۱ نیز شناخته می‌شوند (اواز و دی زیو، ۱۹۹۲). بسط مورد نظر را به این شکل می‌نویسیم

$$\psi_k(R) = \sum_j c_j \psi_j^{m=0}(R) \quad (12)$$

که در آن ψ_k پتانسیل تعیین‌یافته دیسک کوزمین، $\psi_j^{m=0}$ توابع تعیین‌یافته پتانسیل پایه کلاتون-براک برای حالت اصلی ($m=0$) و c_j ضرایب بسط هستند. هدف ما محاسبه c_j هاست به طوری که بسط فوق به مقدار دقیق پتانسیل MOND می‌دانیم (در حالت ضخامت صفر) همگرا شود. برای این کار ابتدا حل عددی پتانسیل تعیین‌یافته دیسک کوزمین را (مطابق روش برادا و میلگرام، ۱۹۹۵) به دست می‌آوریم و سپس بسط فوق را انجام می‌دهیم. برای محاسبه ضرایب بسط، دو طرف رابطه (۱۲) را در $(R)_i^0 \psi_i^0(R)$ ضرب کرده و به شکل زیر انتگرال می‌گیریم،

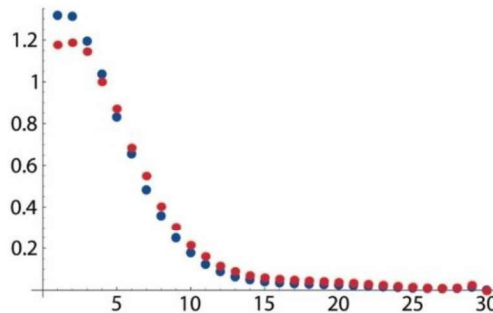
$$\int_0^\infty \psi_k(R) \psi_i^0(R) R dR = \sum_j c_j \int_0^\infty \psi_j^0(R) \psi_i^0(R) R dR \quad (13)$$

با نوشتند رابطه فوق برای زتابع پایه، به زعادله و زجهول می‌رسیم که با حل این معادلات ضرایب c_j بدست می‌آیند. به این شکل پتانسیل تعیین‌یافته دیسک کوزمین را بر حسب سی جمله

اول توابع تعییم‌یافته پتانسیل پایه کلاتون برآک بسط دادیم. برای بررسی همگرایی بسط به مقدار مشخص پتانسیل، از همگرایی کوشی (Cauchy convergence) استفاده می‌کنیم. بر این اساس، J_N به شکل زیر نشان‌دهنده همگرایی بسط به مقدار مدنظر است،

$$J_N = \frac{1}{2} \int [\psi(R) - \sum_{j=0}^N c_j \psi_j^m]^2 R dR \quad (14)$$

که در آن N بیانگر تعداد جملات بسط است. بسط مشابهی را می‌توان برای پتانسیل تعییم‌یافته دیسک نمایی بر حسب توابع تعییم‌یافته پتانسیل پایه کلاتون برآک انجام داد. برای این کار در رابطه (۱۲) به جای پتانسیل مربوط به دیسک کوزمین ψ ، پتانسیل مربوط به دیسک نمایی را (مطابق دستاوردهای میلگرام، ۱۹۹۵) قرار دادیم. محاسبات مشابه همگرا بودن بسط فوق را برای پتانسیل تعییم‌یافته دیسک نمایی نیز نشان می‌دهد. در شکل ۳ منحنی همگرایی کوشی، J_N را بر حسب تعداد جملات بسط، N ، برای بسط پتانسیل تعییم‌یافته دیسک‌های کوزمین (به رنگ قرمز) و نمایی (به رنگ آبی) رسم کرده‌ایم. چنان‌که مشاهده می‌شود بسط‌های توابع پتانسیل تعییم‌یافته دیسک‌های کوزمین و نمایی بر حسب توابع پتانسیل تعییم‌یافته پایه کلاتون برآک، با ضرایب بسط محدود به مقادیر پتانسیل مورد نظر همگراست.



شکل ۳ منحنی همگرایی کوشی، J_N ، بر حسب تعداد جملات بسط، N ، برای بسط پتانسیل تعییم‌یافته دیسک کوزمین (رنگ آبی) و دیسک نمایی (رنگ قرمز).

۴. نتیجه‌گیری

حل تحلیلی معادله غیرخطی پواسون تعییم‌یافته MOND در حالت کلی کار بسیار دشواری است. ما در این مقاله با محاسبات عددی توابع تعییم‌یافته پتانسیل پایه کلاتون برآک را در فرمول‌بندی MOND به دست آورده و با بسط توابع پتانسیل تعییم‌یافته معروف (مانند دیسک‌های نمایی و کوزمین) بر حسب توابع تعییم‌یافته پایه کلاتون برآک کاربرد توابع حاصل را آزمودیم. بسط توابع پتانسیل دیسک نمایی و کوزمین بر حسب توابع پتانسیل پایه تعییم‌یافته کلاتون برآک با ضرایب بسط

محدود، همگرا است و لذا این توابع تعمیم یافته را می‌توان به عنوان توابع پایه در حل معادله‌ی پواسون تعمیم یافته بر حسب نظریه MOND به کار برد. به این ترتیب توابع تعمیم یافته پتانسیل پایه کلا-ton-brak را می‌توان برای بسط دیگر پتانسیل‌های مختلف MOND می‌برای دیسک‌هایی که بدون برآمدگی بوده و تقارن محوری دارند، به کار گرفت. کاربرد توابع پتانسیل پایه‌ای که به دست آورده‌یم برای بسط دیگر پتانسیل‌های مربوط به دیسک‌های نازک کهکشانی، تا جایی که در تقریب ضخامت صفر ($z=0$) قرار بگیرند، تعمیم پذیر است. از این توابع پایه همچنین می‌توان در شبیه‌سازی‌ها و کدهایی که برای مطالعه دینامیک دیسک‌های کهکشانی به کار می‌روند به ویژه در روش‌هایی چون شبیه‌سازی سامانه‌های چندذره‌ای و مش ذره‌ای استفاده کرد.

قدرتانی

از استاد بزرگوار دکتر میرعباس جلالی که در مراحل انجام این کار از دانش، راهنمایی و بحث‌های مفید ایشان استفاده کردم سپاسگزارم.

منابع

- [1] Aoki S., Iye, M., Astron. Soc. Japan, Bi-orthogonalization of Toomre's surface-density functions for flat galaxies, 30, 519-531, 1978.
- [2] Aoki S., Noguchi M., and Iye, M., Global Instability of Polytropic Gaseous Disk Galaxies with Toomre's Density Distribution, *Publ. Astron. Soc. Japan*, 31, 737-774, 1979.
- [3] Barada R., Milgrom M., Exact solutions and approximations of MOND fields of disc galaxies, *MNRAS*, 276, 453-459, 1995.
- [4] Binney J., Tremaine S., *Galactic dynamics*, Princeton Univ. Press, Princeton, 42-45, 1987.
- [5] Clutton-Brock M., The gravitational field of flat galaxies, *Astrophys. Space Sci.*, 16, 101-119, 1972.
- [6] Milgrom M A modification of the Newtonian dynamics as a possible alternative to the hidden mass hypothesis , *ApJ*, 270, 365-370, 1983a.
- [7] Milgrom M., A modification of the Newtonian dynamics - Implications for galaxies, *ApJ*, 270, 371-389, 1983b.
- [8] Milgrom M., MOND theory, Canadian Journal of Physics, 93, 107-118, 2015.
- [9] Sanders H., Mc Gaugh S., Modified Newtonian Dynamics as an Alternative to Dark Matter, Annual Review of Astronomy and Astrophysics, 40, 263-317, 2002.
- [10] Evans N.W., de Zeeuw P.T., Potential-density pairs for flat galaxies, *MNRAS*, 257, 152-176, 1992.
- [11] Van Den Bosch C., Dalcanton J., Semi-Analytical Models for the Formation of Disk Galaxies II. Dark Matter versus Modified Newtonian Dynamics, *ApJ*, 534, 146-164, 2000.
- [12] Toomre, A., On the Distribution of Matter Within Highly Flattened Galaxies, *ApJ*, 138, 385, 1963.
- [13] Kalnajs, A. J., Dynamics of Flat Galaxies. II. Biorthonormal Surface Density-Potential Pairs for Finite Disks, , *ApJ*, 205, 745-750, 1976.

- [14] Hunter C., Potential-Density Relations for Flat Galaxies, *Astron. Soc. Japan*, 32, 33-40, 1980.
- [15] Morse P. M., and Feshbach H., *Methods of Theoretical physics* (Mc Grow-Hill, New York, 1953), p. 1298.